

Московский Государственный Университет

Название

Николай А. Мурзин
науч. рук.: Алексей Н. Рубцов

28 мая 2014 г.

Оглавление

0.1	Формализм дуальных фермионов	1
0.2	Диаграмма собственной энергии с трёх-частичной вершиной	2
0.3	Блок диаграммы. Вершинная функция.	3
0.4	Расчет диаграммы	4
0.5	Расчет восприимчивости	5
0.6	Лестничная диаграмма для $\tilde{\Sigma}$	5

0.1 Формализм дуальных фермионов

Ищется приближенное решение обобщенной задачи со следующим действием

$$S[c^*, c] = - \sum_{\omega \mathbf{k} \sigma m m'} c_{\omega \mathbf{k} \sigma m}^* ((i\omega + \mu) \mathbf{1} - h_{\mathbf{k} \sigma})_{mm'} c_{\omega \mathbf{k} \sigma m'} + \sum_i H_{int}[c_i^*, c_i] \quad (1)$$

Здесь $h_{\mathbf{k} \sigma}$ - одноэлектронная часть Гамильтониана, $\omega_n = (2n+1)\pi/\beta$, $n = 0, \pm 1, \dots$ - фермионные Матубаровские частоты, β и μ - обратная температура и химический потенциал соответственно, $\sigma = \uparrow, \downarrow$ - спиновые индексы, m, m' - орбитальные индексы, i - индексирует узлы решетки, \mathbf{k} - вектор квазиимпульса, а c^*, c - Грасмановы переменные. H_{int} может быть любым типом взаимодействия. Единственное ограничение, что оно локально в пределах атома или кластера. Кулоновское взаимодействие например

$$H_{int}[c_i^*, c_i] = \frac{1}{4} \int_0^\beta d\tau U_{1234} c_{i1}^* c_{i2}^* c_{i3} c_{i4} \quad (2)$$

Где U - сила кулоновского взаимодействия, а индексы (напр. $1 \equiv \omega_1 m_1 \sigma_1$) вмещают частотные, орбитальные и спиновые состояния, по которым производится суммирование.

Идея техники дуальных фермионов заключается в переформулировке решеточной задачи в терминах не взаимодействующих примесей, а взаимодействие перенесено на второстепенные частицы. Как и в теории динамического среднего поля (DMFT), введем действие для локального примесив в виде

$$S_{imp}[c^*, c] = - \sum_{\omega \sigma m m'} c_{\omega \sigma m}^* ((i\omega + \mu) \mathbf{1} - \Delta_{\omega \sigma})_{mm'} c_{\omega \sigma m'} + H_{int}[c^*, c] \quad (3)$$

Где Δ - пока неизвестная матрица гибридизации, описывающая взаимодействие между примесью и термостатом.

Из-за локальности Δ возможно расщепление взаимодействующих узлов и действие 1 можно переписать как

$$S[c^*, c] = \sum_i S_{imp}[c_{i\omega \sigma m'}^*, c_{i\omega \sigma m}] - \sum_{\omega \mathbf{k} \sigma m m'} c_{\omega \mathbf{k} \sigma m}^* (\Delta_{\omega \sigma} - h_{\mathbf{k} \sigma})_{mm'} c_{\omega \mathbf{k} \sigma m'} \quad (4)$$

Дуальные фермионы вводятся при помощи преобразования Хаббарда-Стратоновича, выполняющееся для произвольных комплексных матриц \hat{A} и \hat{B}

$$\int \exp(-\mathbf{f}^* \hat{A} \mathbf{f} - \mathbf{f}^* \hat{B} \mathbf{c} - \mathbf{c}^* \hat{B} \mathbf{f}) \mathcal{D}[\mathbf{f}^*, \mathbf{f}] = \det(\hat{A}) \exp(\mathbf{c}^* \hat{B} \hat{A}^{-1} \hat{B} \mathbf{c}) \quad (5)$$

Выбирая

$$\begin{aligned} A &= g_{\omega\sigma}^{-1}(\Delta_{\omega\sigma} - h_{\mathbf{k}\sigma})^{-1}g_{\omega\sigma}^{-1} \\ B &= g_{\omega\sigma}^{-1} \end{aligned} \quad (6)$$

Где $g_{\omega\sigma}$ - локальная функция Грина примеси. В итоге получаем

$$S[\mathbf{c}^*, \mathbf{c}, \mathbf{f}^*, \mathbf{f}] = \sum_i S_{\text{site},i} + \sum_{\omega\mathbf{k}\sigma} [\mathbf{f}_{\omega\mathbf{k}\sigma}^* g_{\omega\sigma}^{-1}(\Delta_{\omega\sigma} - h_{\mathbf{k}\sigma})^{-1}g_{\omega\sigma}^{-1}\mathbf{f}_{\omega\mathbf{k}\sigma}] \quad (7)$$

Таким образом взаимодействие между узлами заменилось на взаимодействие с дуальными фермионами

$$S_{\text{site},i} = S_{\text{imp}}[\mathbf{c}^*, \mathbf{c}] + \mathbf{f}_{\omega i\sigma}^* g_{\omega\sigma}^{-1}\mathbf{c}_{\omega i\sigma} + \mathbf{c}_{\omega i\sigma}^* g_{\omega i\sigma}^{-1}\mathbf{f}_{\omega i\sigma} \quad (8)$$

Где из-за локальности $g_{\omega\sigma}$, сумму по \mathbf{k} можно заменить на сумму по узлам.

Теперь возможно проинтегрировать первоначальные фермионы для каждого узла в отдельности

$$\int \exp(-S_{\text{site}}[\mathbf{c}_i^*, \mathbf{c}_i, \mathbf{f}_i^*, \mathbf{f}_i]) \mathcal{D}[\mathbf{c}_i^*, \mathbf{c}_i] = Z_{\text{imp}} e^{(-\sum_{\omega\sigma} \mathbf{f}_{\omega i\sigma}^* g_{\omega\sigma}^{-1}\mathbf{f}_{\omega i\sigma} + V_i[\mathbf{f}_i^*, \mathbf{f}_i])} \quad (9)$$

Раскладывая обе части этого уравнения и приравнивая соответствующие порядки малости, получаем

$$V[\mathbf{f}^*, \mathbf{f}] = \frac{1}{4} \sum_i \gamma_{1234}^{(4)} \mathbf{f}_{i1}^* \mathbf{f}_{i2}^* \mathbf{f}_{i3} \mathbf{f}_{i4} + \dots \quad (10)$$

Где

$$\begin{aligned} \gamma_{1234}^{(4)} &= g_{11'}^{-1} g_{22'}^{-1} [\chi_{1'2'3'4'}^{\text{imp}} - \chi_{1'2'3'4'}^{\text{imp},0}] g_{33'}^{-1} g_{44'}^{-1} \\ \chi_{1234}^{\text{imp},0} &= g_{14} g_{23} - g_{13} g_{24} \end{aligned} \quad (11)$$

- четырех-частичная приводимая вершина для решеточных фермионов. Локальная двух-частичная функция Грина примесной задачи определена как

$$\chi_{1234}^{\text{imp}} = \frac{1}{Z_{\text{imp}}} \int \mathbf{c}_1 \mathbf{c}_2 \mathbf{c}_3^* \mathbf{c}_4^* \exp(-S_{\text{imp}}[\mathbf{c}^*, \mathbf{c}]) \mathcal{D}[\mathbf{c}^*, \mathbf{c}] \quad (12)$$

0.2 Диаграмма собственной энергии с трёх-частичной вершиной

$$\text{Diagram 1} = \text{Diagram 2} + \text{Diagram 3} + \dots \quad (13)$$

$$\text{Diagram 1} = \text{Diagram 2} + \text{Diagram 3} + \dots \quad (14)$$

$$\text{Diagram 1} = \text{Diagram 2} + \dots \quad (15)$$

$$\Sigma_1 = \sum_{\substack{\omega\omega' \\ \Omega\Omega'}} \Gamma_{\omega\omega'} \chi_{\omega\Omega'}^{(0)} \Gamma_{\omega'\omega''} \chi_{\omega'\Omega}^{(0)} \Gamma_{\omega''\omega} G_{\omega+\Omega} \quad (16)$$

$$\Sigma_2 = \sum_{\substack{\omega\omega' \\ \Omega\Omega'}} \gamma_{\omega\omega'\omega''}^{(6)} \chi_{\omega'\Omega'}^{(0)} \Gamma_{\omega'\omega''} \chi_{\omega'\Omega}^{(0)} \quad (17)$$

0.3 Блок диаграммы. Вершинная функция.

Приводимая двухчастичная функция Грина

$$\chi^{\sigma_1\sigma_2}_{\sigma_3\sigma_4}(\tau_1, \tau_2, \tau_3, \tau_4) = \left\langle T \hat{c}_1 \hat{c}_2^\dagger \hat{c}_3 \hat{c}_4^\dagger \right\rangle \quad (18)$$

Определим новые временные переменные, соответствующие порядку операторов на рисунке 1

$$\begin{aligned} \tau_4 &\rightarrow 0 \\ \tau_3 &\rightarrow \tau_1 \\ \tau_2 &\rightarrow T \\ \tau_1 &\rightarrow \tau_1 - T \end{aligned} \quad (19)$$

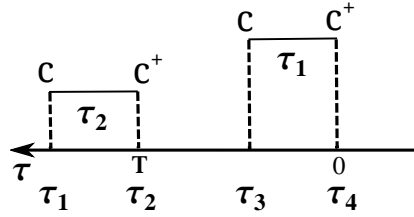


Рис. 1

Линия, в нулевом приближении, равна

$$\begin{aligned} \tilde{G}_{\omega k}^{(0)} &= -g_\omega^2 (g_\omega - \epsilon_k^{-1})^{-1}, \text{ где} \\ g_\omega &= \int_0^\beta d\tau \left(- \left\langle c_\uparrow^\dagger(\tau) c_\uparrow(0) \right\rangle \right) e^{i\omega\tau} = \frac{-i\omega}{\omega^2 + \mu^2} \\ \epsilon_k &= -2t(\cos k_x + \cos k_y). \end{aligned} \quad (20)$$

Лестница в целом характеризуется волновым вектором K и частотой Ω . “Внутренние” индексы будем использовать во временном представлении.

Таким образом, нам понадобятся величины

$$\begin{aligned} \tilde{\chi}_{\Omega K \omega}^{(0)} &= - \int_k \tilde{G}_{\omega k} \tilde{G}_{\Omega+\omega, K+k} \\ \tilde{\chi}_{\Omega K \tau}^{(0)} &= \beta^{-1} \sum_\omega \tilde{\chi}_{\Omega K \omega}^{(0)} e^{-i\omega\tau}, \end{aligned} \quad (21)$$

где суммирование \sum_ω проводится по мацубаровским частотам $\omega_n = \frac{(2n+1)\pi}{\beta}$, $n \in \mathbb{Z}$ и $\int_k \equiv \frac{1}{(2\pi)^2} \int_{-\pi}^\pi d^2k$.

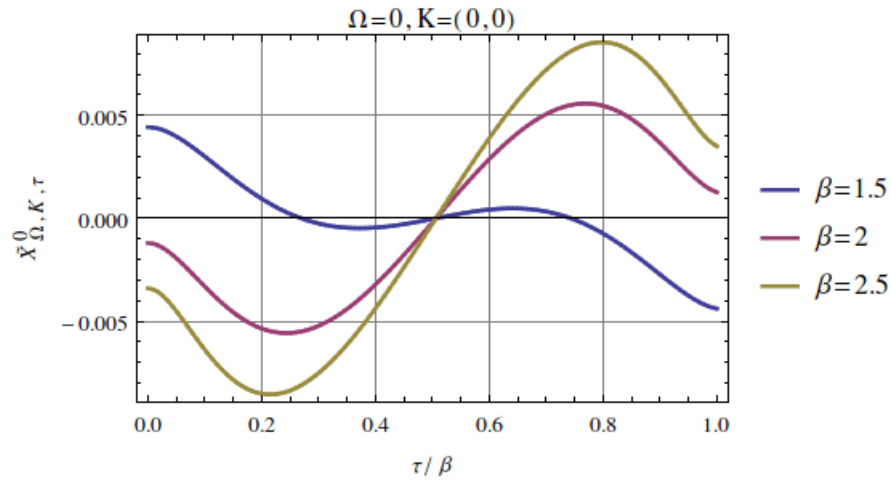


Рис. 2

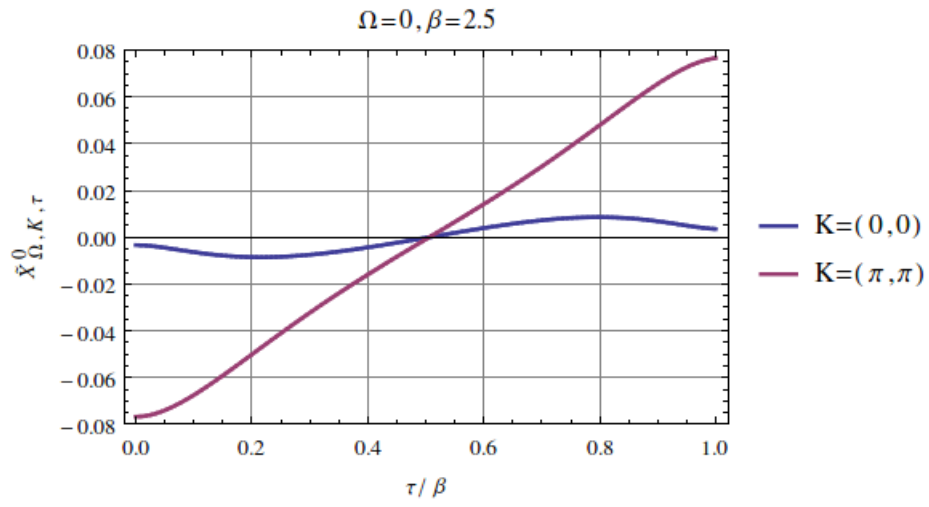


Рис. 3

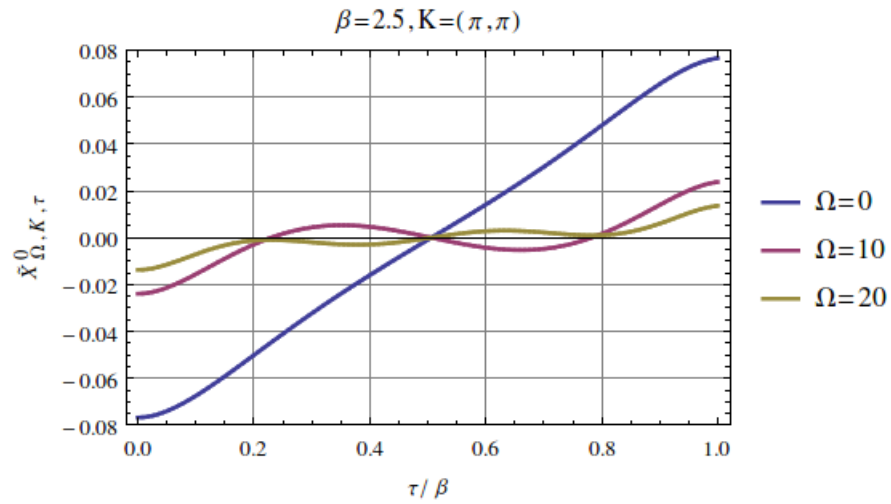


Рис. 4

0.4 Расчет диаграммы

$$\Gamma_{\omega\omega'}^{\alpha\Omega K} = \gamma_{\omega\omega'}^{\Omega} - \beta^{-1} \sum_{\omega''} \gamma_{\omega\omega''}^{\alpha\Omega} \overbrace{\left(\int_k \tilde{G}_{K+k} \tilde{G}_k \right)}^{-\tilde{\chi}_{\omega''}^{(0)}} \Gamma_{\omega''\omega'}^{\alpha\Omega K} \quad (22)$$

$$\begin{aligned}
\Gamma_{\omega\omega''}^d &= \Gamma_{\omega\omega''}^{\uparrow\uparrow\uparrow\uparrow} + \Gamma_{\omega\omega''}^{\uparrow\uparrow\downarrow\downarrow} \\
\Gamma_{\omega\omega''}^m &= \Gamma_{\omega\omega''}^{\uparrow\uparrow\uparrow\uparrow} - \Gamma_{\omega\omega''}^{\uparrow\uparrow\downarrow\downarrow}
\end{aligned} \tag{23}$$

0.5 Расчет восприимчивости

$$\tilde{\chi}_{\Omega K}^\alpha = -\beta^{-1} \sum_{\omega} \tilde{\chi}_{\Omega K}^{(0)} + \beta^{-2} \sum_{\omega\omega'} \tilde{\chi}_{\Omega K}^{(0)} \Gamma_{\omega\omega'}^\alpha \tilde{\chi}_{\Omega K}^{(0)} \tag{24}$$

0.6 Лестничная диаграмма для $\tilde{\Sigma}$

$$\begin{aligned}
\tilde{\Sigma}_{\sigma\omega k}^{\text{LDFA}} &= \\
&- \beta^{-1} \sum_{\omega'k'\sigma'} \gamma_{\omega'\omega\Omega=0}^{\sigma\sigma'\sigma'} \tilde{G}_{\omega'k'} \\
&+ \frac{1}{2} \beta^{-1} \sum_{\Omega K} \sum_{\omega'\sigma'} \gamma_{\omega'\omega\Omega}^{\sigma\sigma'\sigma'\sigma} \tilde{G}_{\omega+\Omega, k+K} \tilde{\chi}_{\omega'\Omega, K}^{(0)} \left[2\Gamma_{\omega\omega'\Omega, K}^{\sigma\sigma\sigma'\sigma'} - \gamma_{\omega\omega'\Omega}^{\sigma\sigma\sigma'\sigma'} \right] \\
&+ \frac{1}{2} \beta^{-1} \sum_{\Omega K} \sum_{\omega'} \gamma_{\omega'\omega\Omega}^{\sigma\sigma\bar{\sigma}\bar{\sigma}} \tilde{G}_{\omega+\Omega, k+K} \tilde{\chi}_{\omega'\Omega, K}^{(0)} \left[2\Gamma_{\omega\omega'\Omega, K}^{\sigma\sigma\bar{\sigma}\bar{\sigma}} - \gamma_{\omega\omega'\Omega}^{\sigma\sigma\bar{\sigma}\bar{\sigma}} \right]
\end{aligned} \tag{25}$$

Дальше скелетная функция Грина вычисляется по следующей формуле

$$\tilde{\mathbb{G}}_{\omega k}^{-1} = \tilde{G}_{\omega k}^{-1} - \tilde{\Sigma}_{\omega k} \tag{26}$$